

東海大学工学部 正員・兵動正幸  
 九州大学工学部〃 山内豊稔  
 " " 後藤忠之輔

### 1. まえがき

近年、地震時の飽和砂地盤の挙動を把握するためには、液状化を考慮した数値解析がなされるようになってきた。筆者らも、前報<sup>1),2)</sup>において液状化過程における間げき水圧の上昇と消散、間げき比の変化などの現象を含めた解析モデルを提案し、いくつかのケーススタディを行った。しかし、これまでの数多くの研究が砂地盤そのものを対象としたものであり、入力地震波の選定にはさほど考慮がなされていないようである。一般に、入力地震波として El Centro 波や Taft 波などのように地表は近く得られた記録が用いられることが多い場合が多い。現実には飽和砂地盤と環境をなす基盤の性質は様々であると考えられるので、ここで軟質から硬質まで数種の基盤を想定し、基盤における地震波を作成してみた。すなわち、同一のパワーで周波数帯域の異なるホワイトノイズを作成し、それを入力して表面地盤の液状化傾向を探った。また、実際の地震波である El Centro 波についてもホワイトノイズと同一のパワーに修正し比較を行った。

### 2. 入力地震波の作成

基盤における地震波は、基盤の軟質なほど長周期成分が多いためと考えられる。そこで基盤の硬さにしたがい図-1

(1)～(4)に示すバンド幅 2 Hz のホワイトノイズをシミュレートした。また、比較のために(5)の 0～10 Hz のホワイトノイズと(6)の El Centro 波による検討も行った。これらの地震波はすべて同一のパワーを有するものである。ホワイトノイズのシミュレーションは次式<sup>3)</sup>によつた。 $x(t) = \sum_{k=1}^{N_1} a_k \sin(\omega_k t + \phi_k)$  …… (1)

ここで、 $x(t)$ : 算定確率ガウス過程、 $a_k$ : 平均値 0 の標準偏差  $\sigma_a$

$(\sigma_a^2 = 4S_x(\omega_k) \Delta \omega)$  のガウス確率過程であり、 $k=1, 2, \dots, N_1$  は独立な震数、 $\phi_k$ :  $x(t)$  のパワースペクトル密度関数、 $\omega$ : 内振動数、 $t$ : 時間。

### 3. 液状化過程の解析モデル

飽和砂地盤を図-2 のような集中質量系に置換し、基盤入力を与えずせん断振動を取り扱う。各層の質量はそれとされ Weight 系に結合され、バネ定数は地盤の剛性率によ

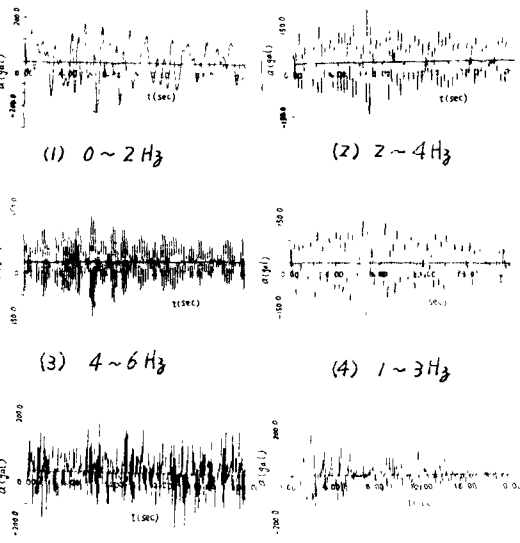


図-1 (5) 0～10 Hz (6) El Centro 波

って表わされる。地盤の剛性率は初期に相対密度と拘束圧によって各層とれどに与えられ、加振時の液状化過程においては、土中のひずみと間げき水圧に応じて変化させる。減衰定数についてはひずみ依存性のみを考慮する。次に液状化過程における間げき水圧上昇量のとらえ方について述べる。通常の非排水繰り返せん断試験から、液状化に必要な応力比  $T/50'$  と繰り返し回数  $N_L$  の関係が得られる。この関係は両対数紙において図-3 のように直線的になる。この関係を相対密度の基づく状態まで拡張して定式化すると次のようになる。

$$N_L = 0.0033 \cdot D_r / 50' \cdot (T/50')^{4.32} \quad \dots \dots (2)$$

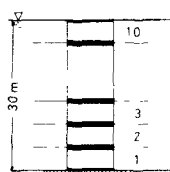


図-2

また、間げき水压の上昇過程は平均的に図-4のようになり、次式<sup>(4)</sup>で表わされる。 $U/U_0' = 1/2 + 1/\pi \cdot \sin^{-1} \{ 2(N/N_e)^{1/0.7} - 1 \} \dots \dots (3)$

これらは一様振幅荷重載荷による実験結果であるが、以下の方法によりランダムは外力に対応させる。ランダムは応答せん断応力 $t_i(t)$ を適当な時間間隔 $\Delta t$ で区分し、この $\Delta t$ を1周期として各周期の等価せん断応力を次式で求めめる。

$$T_{eq} = \sqrt{\sum_{i=1}^n \{x_i(t)\}^2/m}, \quad t_i \leq t \leq t_i + \Delta t, \quad t_i = j\Delta t \quad (j=1, 2, \dots) \quad \dots \dots (4)$$

ここで式(4)における $x_i(t)$ は $i$ 番目の等価せん断応力 $T_{eq,i}$ を式(2)の $T$ に代入すると $N_{eq,i}$ が求められる。この操作を1サイクルから8サイクルまで行うと、式(3)の $N/N_e$ は $N/N_e = \sum_{i=1}^8 (1/N_{eq,i})$ と評価され、同式から時刻 $t = 8\Delta t$ における間げき水圧上昇量を得ることができる。

#### 4. 数値計算

解析の対象地盤は、厚さ30mの均質な乾燥砂地盤であり、物性値は比重 $G_s = 2.63$ 、初期相対密度 $D_r = 50\%$ 、静止土圧係数 $K_0 = 0.5$ である。まず固有周期解析により1次固有周期 $T_1 = 0.5 \text{ sec}$  ( $2\text{Hz}$ )が得られたので、1周期を $\Delta t = 0.5 \text{ sec}$ とした。この地盤に図-1に示されたそれぞれの地震波を入力するのであるが、その意味づけは次の通りである。(1)の地震波は、地盤の固有振動数より低い周波数成分のみを含み、(2)、(3)の地震波は逆に高い周波数成分から成る。(3)の方が(2)よりも地盤の固有振動数から離れた周波数成分から成っている。また、(4)の波は固有振動数より高低両側の成分と同等に含み、(5)は高周波成分の方が多い波である。(6)のEl Centro波は、そのパワースペクトルが図-5に示されるように、比較的低周波成分の多い波である。

これらの地震波を用いて解析を行った結果を図-6に示す。図は、地震継続時間中に上昇した間げき水圧の地盤内での分布を示したものである。 $U/U_0' = 1.0$ で液状化が定義されるが、ここでは解の安定上 $U/U_0' = 0.95$ を上限とし、この値を示すときを液状化としている。図-6において、 $0\sim 2\text{Hz}$ ,  $2\sim 4\text{Hz}$ ,  $4\sim 6\text{Hz}$ の波が入力されたそれぞれの結果と比較すると、 $0\sim 2\text{Hz}$ の場合に最も液状化が進んでおり、次いで $2\sim 4\text{Hz}$ ,  $4\sim 6\text{Hz}$ の順に進んでいることが認められる。すなはち、このことは、液状化過程に地盤が軟化し固有振動数が低下していくため、低周波成分を多く含む入力波の方が応答量を大きくしていることを意味している。現実に液状化が軟らかい沖積層上の砂地盤に多く発生していることもこの結果と関連あるものと思われる。また、 $0\sim 10\text{Hz}$ のホワイトノイズとEl Centro波を入力した結果も図-6に示している。両者の液状化傾向をみると、前者が $1\sim 3\text{Hz}$ と $2\sim 4\text{Hz}$ の結果のほぼ中間にあるのに対し、後者は液状化の度合がさらに著しく、 $0\sim 2\text{Hz}$ と $1\sim 3\text{Hz}$ の結果の中間に近い位置しているようである。

参考文献 1) 山内・佐藤・後藤: 昭和53年度土木学会西部支部研究発表会講演集, PP. 125-126, 1979. 2) 山内・佐藤・後藤: 第14回土質工学研究発表会発表講演集, PP. 1309-1312, 1979. 3) 星谷勝; 確率論手法による振動解析, 地盤構造, PP. 45-66, 1974. 4) Seed et al; Proc. ASCE, Vol. 102, No. GT4, PP. 323-346, 1976.

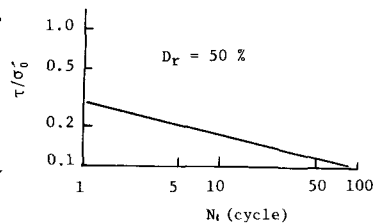


図-3

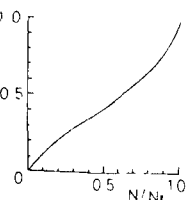


図-4

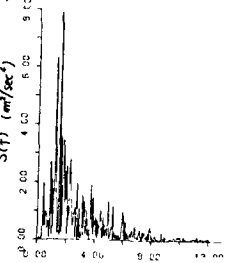


図-5

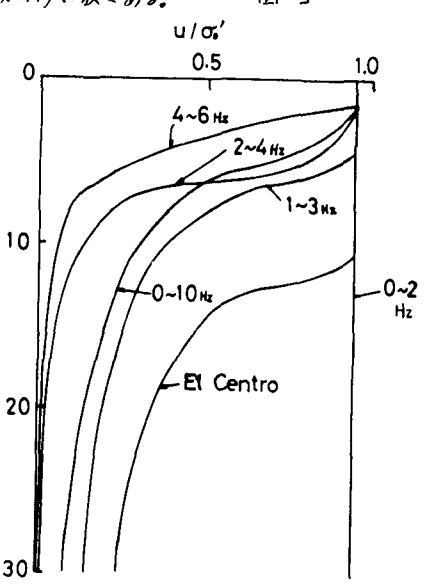


図-6